



НАЦИОНАЛЬНЫЙ ИССЛЕДОВАТЕЛЬСКИЙ
УНИВЕРСИТЕТ



Методика определения электрофизических параметров диэлектрических материалов по параметрам рассеяния волновода с продольно-частичным заполнением

А. А. Кононов, Г. К. Усков, К. В. Смусева, , С.П. Скулкин

ВОРОНЕЖСКИЙ ГОСУДАРСТВЕННЫЙ УНИВЕРСИТЕТ

XXVIII ВСЕРОССИЙСКАЯ ОТКРЫТАЯ НАУЧНАЯ КОНФЕРЕНЦИЯ

«РАСПРОСТРАНЕНИЕ РАДИОВОЛН» (РРВ'2023)

**Методика определения электрофизических
параметров диэлектрических материалов
по параметрам рассеяния волновода
с продольно-частичным заполнением**

А. А. Кононов, Г. К. Усков, К. В. Смусева

Введение

При изготовлении компонентов радиоэлектронных устройств СВЧ диапазона с применением 3D-печати необходимо знать достаточно точные значения электрофизических параметров диэлектрика, служащего рабочим веществом. Однако один и тот же материал от разных производителей может обладать существенно различными параметрами — даже при совпадении наименований (которые, кстати, нередко являются коммерческими, а не номенклатурными), — в то время как табличные данные не всегда характеризуются приемлемо малой погрешностью.

Проблема экспериментального определения электрофизических параметров диэлектрика, примененного в технологиях 3D-печати:

- известные методики обычно предполагают сложную калибровку, недостаточно документированы (например, являясь частью проприетарного ПО) или (как конденсаторный метод) по самой своей природе имеют ограниченную применимость;
- численное же моделирование весьма требовательно к производительности ЭВМ даже для решения прямой задачи (расчёта характеристик изделия из материала с уже известными свойствами), особенно в случае метаматериалов.



Рис. 1. Рупорная антенна с диэлектрической линзой

Измерение параметров диэлектриков

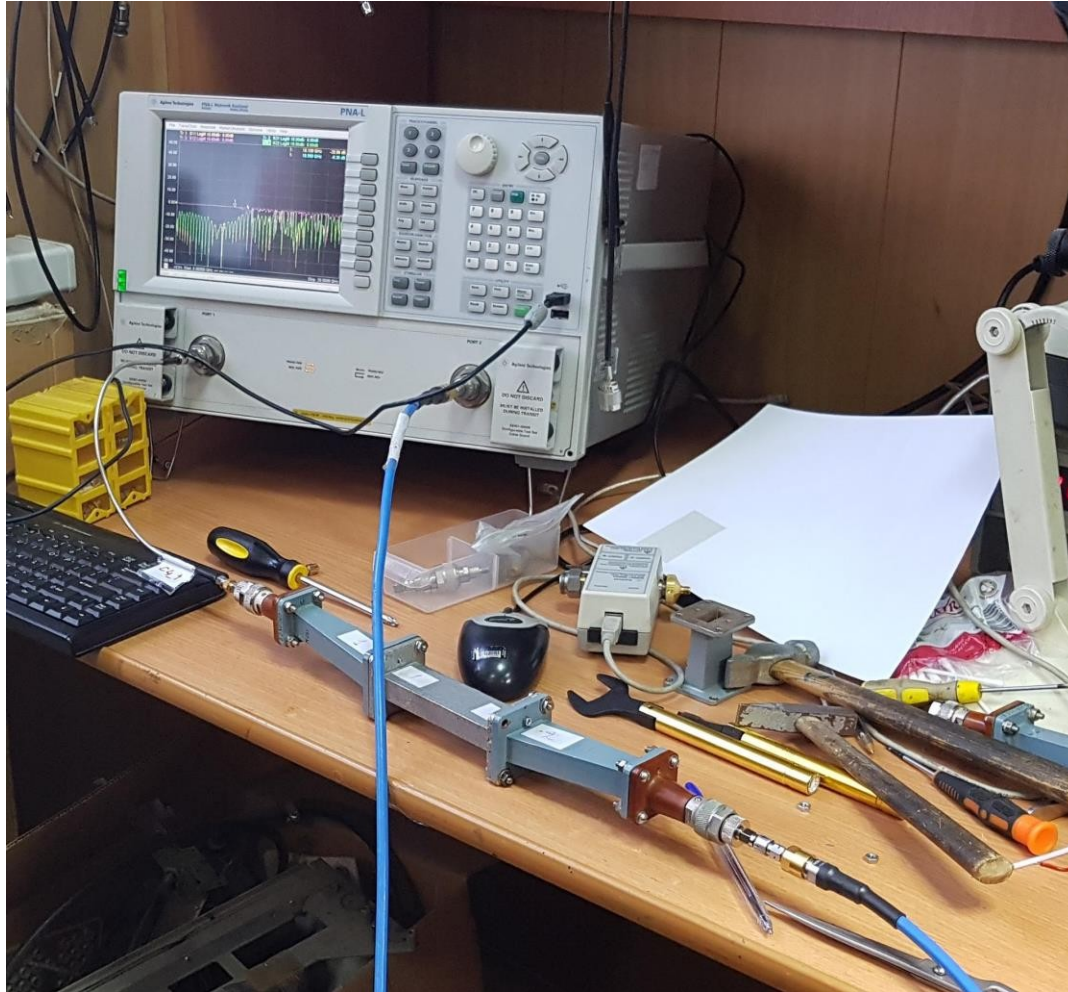


Рис. 2. Измерительная система

В качестве измерительной системы (подробности на слайде 7) предлагается прямоугольный металлический волновод, внутрь которого вкладывается изготовленный с помощью 3D-печати фрагмент из исследуемого вещества (в форме прямоугольного параллелепипеда).

Сверхвысокочастотный анализатор цепей подключается к системе с обеих сторон посредством коаксиально-волноводных переходов.

Наличие в волноводе участков с воздушным заполнением (приводящее к скачкам волнового сопротивления) не вызывает затруднений (все переотражения учитываются матричным формализмом, рассмотренным на слайде 6) и влияет только на рабочий диапазон частот.

Общий подход

1. Для выбранной линии передачи на частоте f может быть измерена совокупность параметров рассеяния $\mathcal{S}(f)$.

2. Теоретические значения $\mathcal{S}_\uparrow(f)$ тех же величин могут быть выражены через амплитудную и фазовую постоянные распространения (α и β — величины, определяющие изменение комплексной амплитуды распространяющегося вдоль оси Oz сигнала по закону $e^{-\alpha z - j\beta z}$) и эквивалентное волновое сопротивление R (имеющее скачки на краях диэлектрического образца), зависящих, в свою очередь, от искоемых электрофизических параметров ε и $\operatorname{tg} \vartheta$.

3. Таким образом, для гипотетических значений $(\varepsilon; \operatorname{tg} \vartheta)$ можно ввести норму невязки $|\Delta \mathcal{S}(\varepsilon, \operatorname{tg} \vartheta)|$, характеризующую степень различия между \mathcal{S} и \mathcal{S}_\uparrow .

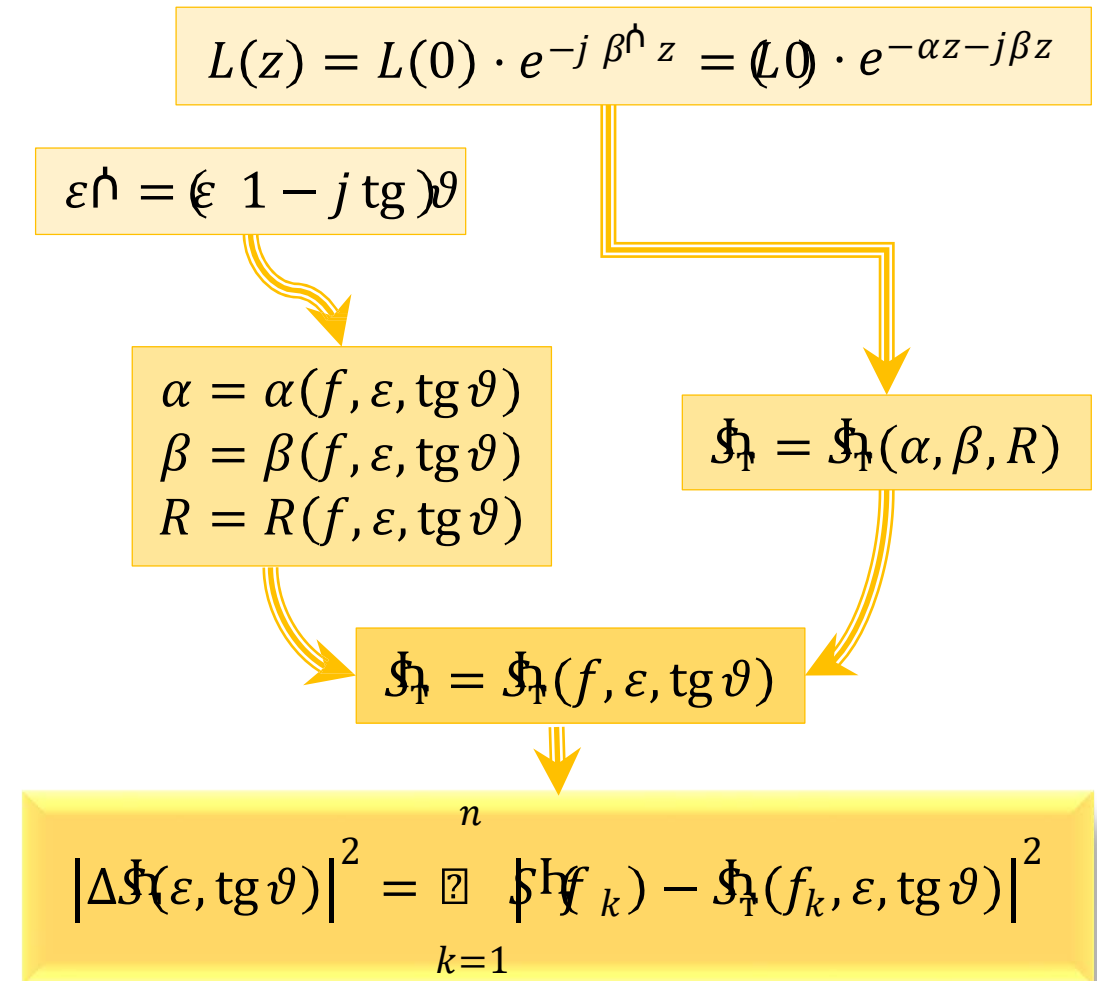


Рис. 3. Диаграмма вычисления квадрата нормы невязки

Основной алгоритм



Рис. 4. Блок-схема базового алгоритма

Матрицы рассеяния

Любой участок линии передачи СВЧ сигналов может быть представлен как четырёхполюсник, для которого комплексные амплитуды падающих и отражённых волн связаны волновыми матрицами S - или T -параметров (причём между этими двумя представлениями существует взаимно-однозначное соответствие).

$$\begin{pmatrix} b_1 \\ b_2 \end{pmatrix} = S \cdot \begin{pmatrix} a_1 \\ a_2 \end{pmatrix}, \quad S = \begin{pmatrix} S_{11} & S_{12} \\ S_{21} & S_{22} \end{pmatrix} \Rightarrow \begin{cases} b_1 = S_{11}a_1 + S_{12}a_2, \\ b_2 = S_{21}a_1 + S_{22}a_2. \end{cases}$$

$$\begin{pmatrix} b_1 \\ a_1 \end{pmatrix} = T \cdot \begin{pmatrix} a_2 \\ b_2 \end{pmatrix}, \quad T = \begin{pmatrix} T_{11} & T_{12} \\ T_{21} & T_{22} \end{pmatrix} \Rightarrow \begin{cases} b_1 = T_{11}a_2 + T_{12}b_2, \\ a_1 = T_{21}a_2 + T_{22}b_2. \end{cases}$$

Удобство матричного формализма в том, что S -параметры характеризуют падающие и отражённые сигналы в стационарном режиме, то есть уже сложившиеся в результате суперпозиции всех переотражений (от скачков волнового сопротивления).



Рис. 5. Схема СВЧ-четырёхполюсника

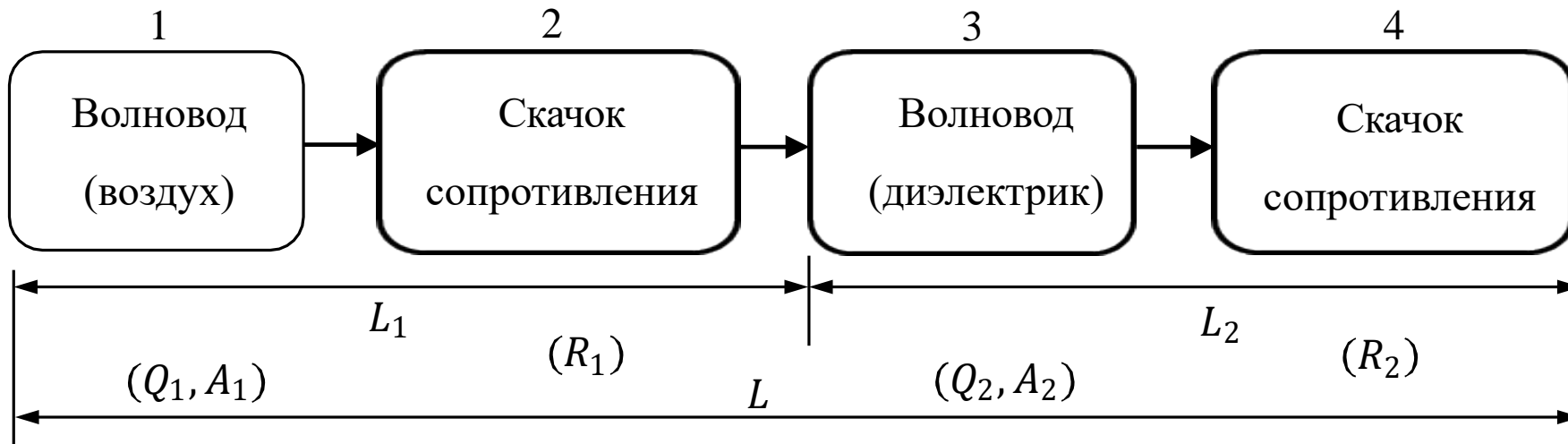
$$\begin{cases} S_{11} = \frac{T_{12}}{T_{22}}, \\ S_{12} = \frac{\det(T)}{T_{22}}, \\ S_{21} = \frac{1}{T_{22}}, \\ S_{22} = \frac{-T_{21}}{T_{22}}, \end{cases} \quad \begin{cases} T_{11} = \frac{-\det(S)}{S_{21}}, \\ T_{12} = \frac{S_{11}}{S_{21}}, \\ T_{21} = \frac{-S_{22}}{S_{21}}, \\ T_{22} = \frac{1}{S_{21}}. \end{cases}$$

Измерительная волноводная линия

Измерительная линия представляет собой волноводный тракт со сменным продольно-частичным диэлектрическим заполнением. Рассматривая её как СВЧ-четырёхполюсник, можно получить его описание в S -параметрах.

$$S_{21} = \frac{4R_1R_2e^{-j(Q_1+Q_2)-(A_1+A_2)}}{(R_2+R_1)^2 - (R_2-R_1)^2e^{-2(jQ_2+A_2)}}$$

$$S_{22} = \frac{(R_2^2 - R_1^2)(1 - e^{-2(jQ_2+A_2)})}{(R_2+R_1)^2 - (R_2-R_1)^2e^{-2(jQ_2+A_2)}}$$



$$S_{12} = S_{21}$$

$$S_{11} = e^{-2(jQ_1+A_1)}S_{22}$$

$$A_i = \alpha_i \cdot L_i$$

$$Q_i = \beta_i \cdot L_i$$

Рис. 6. Схема передающей линии с продольно-частичным заполнением

Поле в волноводе с диэлектриком

Электромагнитные процессы исследуются в области пространства, заключенной внутри прямоугольного металлического волноводного тракта (с которым связана правая декартова система координат). При этом для наибольшей общности в качестве исходных соотношений используется система уравнений Максвелла.

$$\begin{aligned} \text{rot } \vec{H} &= j\omega \vec{D} & \text{div } \vec{H} &= 0; \\ \text{rot } \vec{E} &= -j\omega \vec{B} & \text{div } \vec{E} &= 0; \end{aligned}$$

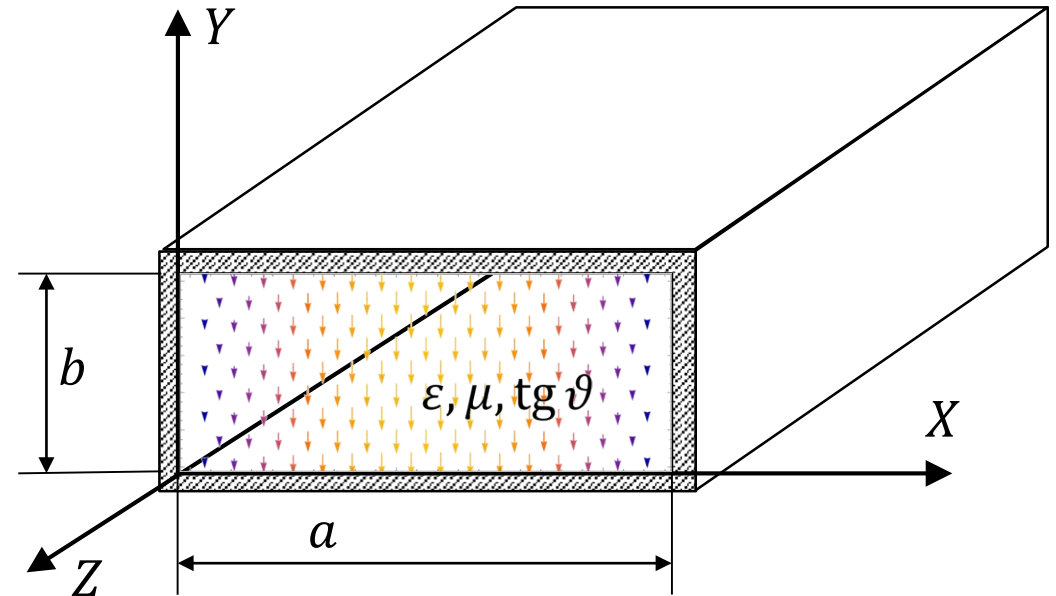


Рис. 7. Волновод прямоугольного сечения

Решение (с учётом граничных условий) приводит к выражениям для векторов \vec{E} и \vec{H} , каждая компонента L которых зависит от продольной координаты z по закону $\frac{L(z)}{L(0)} = e^{-\alpha z - j\beta z}$ — по аналогии с классической моделью (где волновод заполнен средой без потерь); главное отличие заключается в специфическом виде амплитудной (α) и фазовой (β) постоянных распространения.

Постоянные распространения

Оказывается удобным выразить α и β через т. н. ψ -параметры — 2 вспомогательные функции, зависящие, в числе прочего, от частоты f и индексов $(m; n)$, определяющих тип волновой моды (это относится к поперечной структуре поля, как и в классической модели; в частности, здесь тоже возникают TE и TM волны).

Справа приведён типичный вид графиков $\alpha(f)$ и $\beta(f)$ для волновода, заполненного воздухом или диэлектриком с $\varepsilon = 3$, $\text{tg } P = 0.005$.

$$\beta = \sqrt{\psi_s + \sqrt{\psi_s^2 + \psi_p^2}}, \quad \alpha = \sqrt{\sqrt{\psi_s^2 + \psi_p^2} - \psi_s}$$

$$\psi_s = 2\pi^2 \left(\frac{f^2 \mu \varepsilon}{c^2} - \frac{1}{4} \cdot \left(\frac{m^2}{a^2} + \frac{n^2}{b^2} \right) \right), \quad \psi_p = 2\pi^2 \left(\frac{f^2 \mu \varepsilon}{c^2} \text{tg } P \right)$$

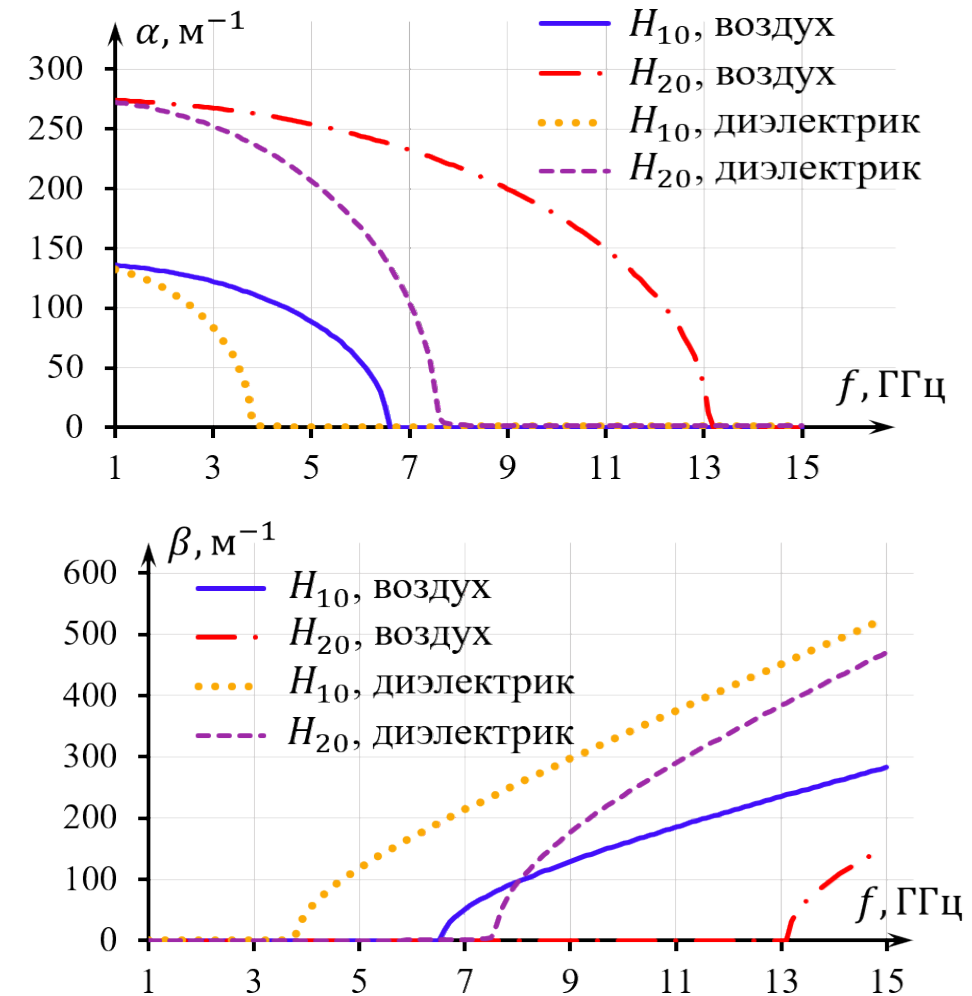


Рис. 8. Графики постоянных распространения

Модель потерь в скин-слое

На практике удельная проводимость $\sigma_{\text{ст}}$ металла стенок волновода конечна, что вызывает дополнительные потери за счёт рассеиваемой в них мощности P_l ; оценить её (для гармонического сигнала) можно на основе закона Джоуля-Ленца (в форме $dP_l = \frac{1}{2} (dI)^2 R_{\text{пов}}$, где $R_{\text{пов}}$ — активное сопротивление скин-слоя глубины δ) и того известного факта, что поверхностная плотность тока численно равна тангенциальной составляющей напряжённости магнитного поля $|\vec{H}_t|$.

Анализ показывает, что учесть потери из-за скин-эффекта можно при помощи аддитивной поправки α_c к амплитудной постоянной распространения α .

$$\alpha_c = -\frac{1}{2} \cdot \ln \left(1 - \sqrt{\frac{\mu_{\text{ст}}}{\pi f \mu_0 \sigma_{\text{ст}}}} \cdot \frac{\left(\frac{\pi m}{a}\right)^2 \left(\frac{2b}{a} + 1\right) + 2 \cdot \sqrt{\psi_s^2 + \psi_p^2}}{\mu b \beta} \right)$$

Как видно, потери в скин-слое зависят от ψ -параметров, то есть на них косвенно влияют потери в диэлектрике (определяющие общую структуру поля).

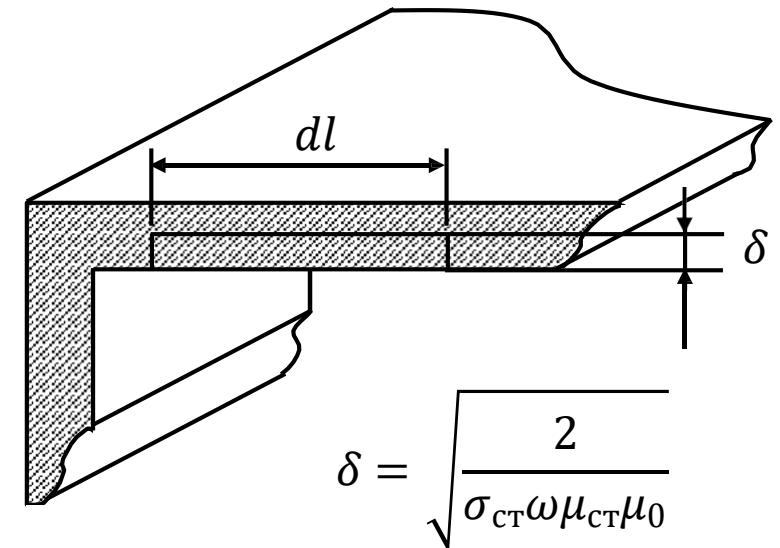


Рис. 9. К определению потерь в стенках волновода

Эквивалентное волновое сопротивление

Понятие эквивалентного волнового сопротивления для волновода можно ввести на основе расчёта напряжения и мощности (отметим, что существуют и другие способы). При этом передаваемая по волноводу мощность P вычисляется обычным образом (через вектор Умова-Пойнтинга), а под напряжением U подразумевается максимальная разность потенциалов между точками, расположенными друг напротив друга на широких стенках волновода (на рисунке они обозначены как (1) и (2)).

Рассчитав вышеуказанные характеристики (пользуясь уже найденной пространственной структурой поля) и обобщая известную из теории обычных электрических цепей формулу $P = \frac{1}{2} \frac{|U|^2}{R}$, получаем

$$R = \frac{|U|^2}{2P} = \frac{4\pi f b \mu \mu_0}{a \beta}$$

Вся специфика (зависимость R от заполнения волновода) по большому счёту включена в содержащуюся в знаменателе величину β .

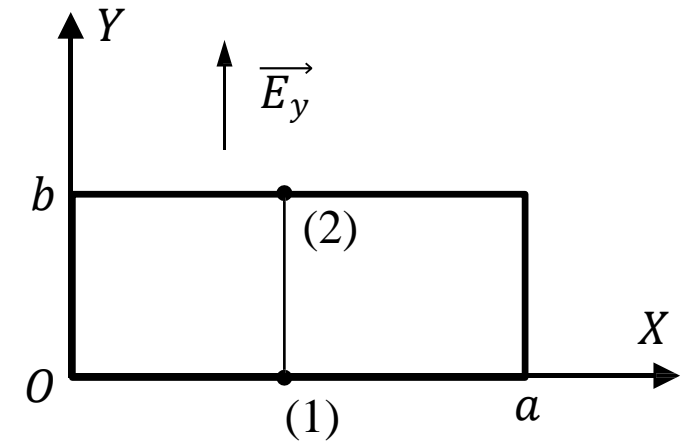


Рис. 10. Вычисление напряжения в волноводe

Пример графиков S -параметров

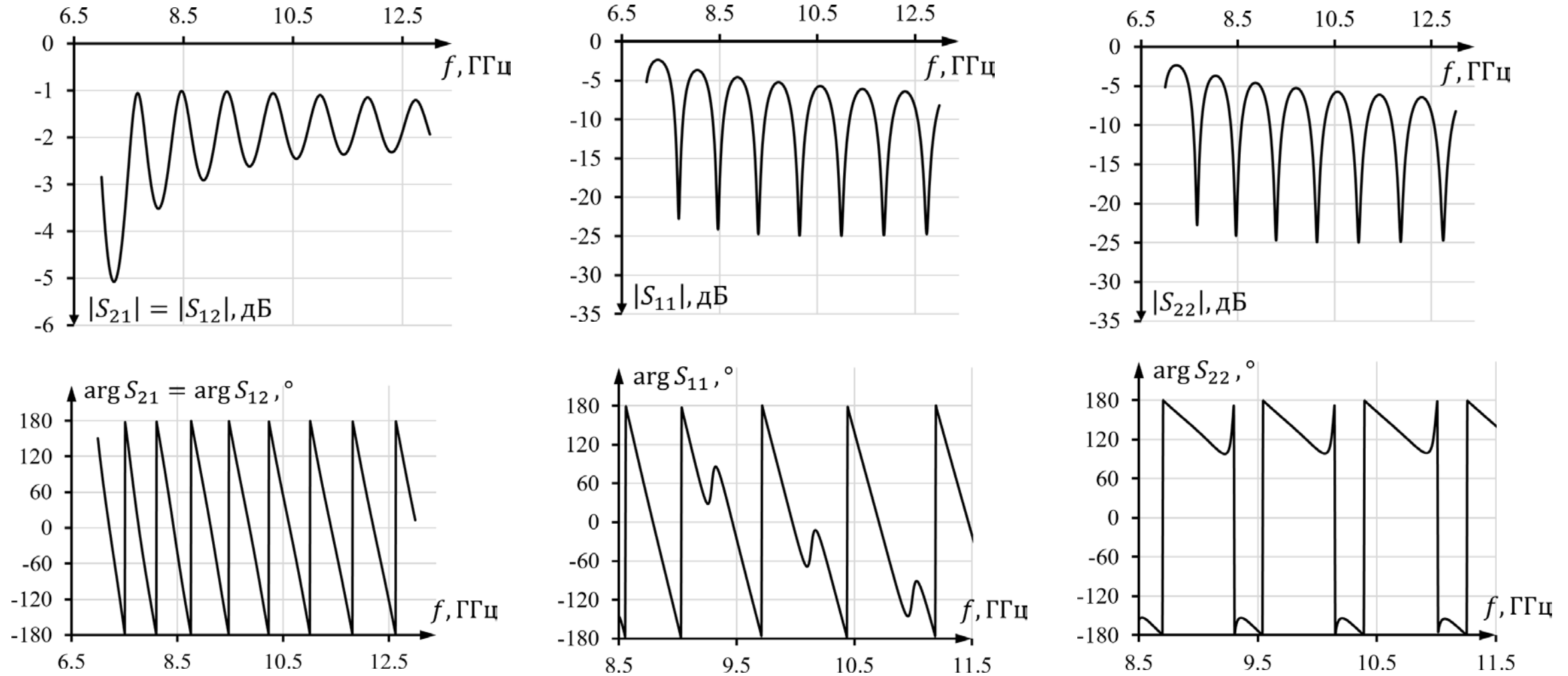


Рис. 11. Типичный вид частотной зависимости амплитуд и фаз S -параметров измерительной волноводной линии

Спасибо за внимание